

С 324

У-83



ОБЪЕДИНЕННЫЙ ИНСТИТУТ ЯДЕРНЫХ ИССЛЕДОВАНИЙ  
ЛАБОРАТОРИЯ ТЕОРЕТИЧЕСКОЙ ФИЗИКИ

---

Н.И. Усюкина

P-1525

АСИМПТОТИКА АМПЛИТУДЫ РАССЕЯНИЯ  
ДЛЯ КОМПТОН-ЭФФЕКТА

Дубна 1964

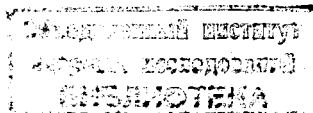
Н.И. Усюкина

P-1525

АСИМПТОТИКА АМПЛИТУДЫ РАССЕЯНИЯ  
ДЛЯ КОМПТОН-ЭФФЕКТА

2294/1 чф.

Направлено в ЖЭТФ



Дубна 1964

В [1], [2] была отмечена достаточная эффективность метода ренормализационной группы для рассмотрения асимптотик амплитуд рассеяния. Что касается квантовой электродинамики, то в [2] на примере системы электрон-позитрон было показано, что суммирование определенного класса диаграмм теории возмущений, улучшенное при помощи ренормализационной группы, в пределе больших энергий ведет к "реджевскому" поведению амплитуды рассеяния в перекрестном канале.

В настоящей работе с целью получения асимптотики при больших энергиях с той же точки зрения рассматривается другой пример квантовой электродинамики - комптон-эффект. Асимптотика рассматривается в пороговой области для позитрония  $s + 4m^2$ , чтобы проверить соответствие значений энергетических уровней, полученных из выражения для показателя Редже, и значений энергетических уровней позитрония, вычисленных обычным образом.

Метод ренормализационной группы для нахождения асимптотики применяется не к инвариантным амплитудам, выбор которых произволен, а к физическим амплитудам рассеяния в синглетном и триплетном состояниях.

Проведем поэтому сначала разложение амплитуды рассеяния в низших порядках теории возмущений на инвариантные амплитуды, выделим амплитуды, соответствующие рассеянию в  $s$  канале в синглетном и триплетном состояниях, а затем применим метод суммирования при помощи ренормализационной группы.

Запишем матрицу рассеяния следующим известным образом:

$$S = 1 - i(2\pi)^{-2} \delta^4(q_1 + p_1 - q_2 - p_2) \frac{1}{\sqrt{4q_1^0 q_2^0}} F. \quad (1)$$

Так как  $F$  билинейна по векторам поляризации, то, например, для  $t$  канала

$$\langle \gamma_2 N_2 | F | \gamma_1 N_1 \rangle = \sum_{\mu, \nu} \epsilon_{2\nu} \bar{u}(p_2) F_{\mu\nu} u(p_1) \epsilon_{1\mu}. \quad (2)$$

Применение общих принципов инвариантности приводит к разложению  $F_{\mu\nu}$  на систему 6 линейно-независимых амплитуд [4]:

$$F_{\mu\nu} = \sum_i A_i I_{\mu\nu}^i. \quad (3)$$

Нормировка выполнена таким образом, чтобы в инвариантных амплитудах отсутствовали кинематические особенности.

Соответствующими простыми вычислениями можно выделить инвариантные амплитуды  $A_i$  в матричных элементах 2-го и 4-го порядков.

Во втором порядке вклад в амплитуду рассеяния дают диаграммы рис. 1, для которых:

$$F_{\mu\nu}^{(2)} = e^2 \gamma_\mu \frac{\hat{p}_1 + \hat{q}_2 + m}{t - m^2} \gamma_\nu + e^2 \gamma_\mu \frac{\hat{p}_1 - \hat{q}_2 + m}{u - m^2} \gamma_\nu. \quad (4)$$

Для инвариантных амплитуд получаем следующее выражение:

$$A_i = R_i e^2 \left\{ \frac{1}{t - m^2} + \frac{\eta_i}{u - m^2} \right\},$$

$$\eta_i = \begin{cases} +1 & \text{для } i = 1, 2, 3, 6 \\ -1 & \text{для } i = 4, 5 \end{cases}, \quad (5)$$

$$R_1 = 2m, \quad R_4 = -i,$$

$$R_2 = 0, \quad R_5 = i,$$

$$R_3 = +m, \quad R_6 = -i.$$

В 4-ом порядке существенны диаграммы рис. 2. Остальные диаграммы 4-го порядка дают вклады, не зависящие от  $s$ , и потому они, как будет видно ниже, несущественны в пороговой области.

Для диаграммы 4-го порядка 2а имеем:

$$F_{\mu\nu}^{(4)} = \frac{e^4}{(2\pi)^4 i^n} \sum g^{nn} \int d^4 k \gamma_n (\hat{p}_2 - \hat{k} + m) \gamma_\mu (\hat{p}_1 + \hat{q}_1 - \hat{k} + m) \times \quad (6)$$

$$\times \gamma (\hat{p}_1 - \hat{k} + m) \gamma_n \Phi(p_1, p_2, p_1 + q_1, k),$$

(18a)

$$\Phi(p_1, p_2, p_1 + q_1, k) = \frac{1}{(k^2 - \lambda^2) [(p_1 - k)^2 + m^2] [(p_2 - k)^2 - m^2] [(p_1 + q_1 - k)^2 - m^2]}.$$

При проектировании на инвариантные амплитуды необходимо будет вычислить следующие интегралы:

$$I_0 = \frac{1}{\pi^2 i} \int d^4 k \Phi(p_1, p_2, p_1 + q_1, k),$$

$$I_\alpha = \frac{1}{\pi^2 i} \int d^4 k k_\alpha \Phi(p_1, p_2, p_1 + q_1, k), \quad (7)$$

$$I_{\alpha\beta} = \frac{1}{\pi^2 i} \int d^4 k k_\alpha k_\beta \Phi(p_1, p_2, p_1 + q_1, k),$$

$$I_{\alpha\beta\gamma} = \frac{1}{\pi^2 i} \int d^4 k k_\alpha k_\beta k_\gamma \Phi(p_1, p_2, p_1 + q_1, k).$$

В асимптотической области  $t \rightarrow \infty$  имеем:

$$I_0 = -2 \frac{\ln t}{t} f(s), \quad (8)$$

где

$$f(s) = \int_{-\infty}^{\infty} \frac{ds'}{4m^2(s' - s) \sqrt{s'(s' - 4m^2)}} \quad (9)$$

$$s < 4m^2, \quad 4m^2 - s \ll m^2,$$

(10)

$$f(s) = \frac{\pi}{\sqrt{s(4m^2 - s)}}.$$

Из (10) видно, что члены, пропорциональные  $I_0$ , имеют особенность в пороговой области  $s \rightarrow 4m^2$ , а из этого следует, что вклады от диаграмм, не зависящих от  $s$ , в пороговой области несущественны.

Учет главных членов в пороговой области дает для  $I_\alpha, I_{\alpha\beta}, I_{\alpha\beta\gamma}$ .

$$I_\alpha = I_0 P_\alpha, \quad I_{\alpha\beta} = I_0 P_\alpha P_\beta, \quad I_{\alpha\beta\gamma} = I_0 P_\alpha P_\beta P_\gamma, \quad (11)$$

где

$$P_\alpha = \frac{p_{1\alpha} + p_{2\alpha}}{2}.$$

В результате для главных членов инвариантных амплитуд при  $t \rightarrow \infty$  в пороговой области получаем следующие выражения:

$$A_1^{a(4)} = 0, \quad A_4^{a(4)} = -\frac{4im^2 e^4}{16\pi^2} I_0,$$

$$A_2^{a(4)} = 0, \quad A_5^{a(4)} = \frac{2im^2 e^4}{16\pi^2} I_0, \quad (12)$$

$$A_3^{a(4)} = -\frac{e^4}{16\pi^2} sm I_0, \quad A_6^{a(4)} = 0.$$

Получим теперь матричные элементы, соответствующие физическим синглетному и триплетному состояниям в  $s$  канале.

Как известно<sup>/5/</sup>, возможны следующие состояния системы электрон-позитрон с определенной четностью и моментом:

$$|j \frac{1}{2} \frac{1}{2} \rangle - |j - \frac{1}{2} - \frac{1}{2} \rangle, \quad p = (-1)^{j+1}, \quad s = 0$$

$$|j \frac{1}{2} - \frac{1}{2} \rangle - |j - \frac{1}{2} \frac{1}{2} \rangle, \quad p = (-1)^{j+1}, \quad s = 1$$

$$\left. \begin{aligned} |j \frac{1}{2} - \frac{1}{2} \rangle + |j - \frac{1}{2} \frac{1}{2} \rangle \\ |j \frac{1}{2} \frac{1}{2} \rangle + |j - \frac{1}{2} - \frac{1}{2} \rangle \end{aligned} \right\} p = (-1)^j, \quad s = 1$$

и, соответственно, состояния системы  $\gamma\gamma$ :

$$|j II \rangle + |j - I - I \rangle, \quad p = (-1)^j,$$

$$|j II \rangle - |j - I - I \rangle, \quad p = (-1)^{j+1},$$

$$|j I - I \rangle - |j - II \rangle, \quad p = (-1)^{j+1},$$

$$|j I - I \rangle + |j - II \rangle, \quad p = (-1)^j.$$

В силу сохранения четности между этими состояниями возможны переходы, соответствующие следующим спиральным амплитудам<sup>/5/</sup>:

синглетная амплитуда:

$$\phi_{00+}^I - \phi_{00-}^I, \quad (14a)$$

триплетные амплитуды:

$$\phi_{12}^J - \phi_{1-2}^J, \quad \phi_{10}^J, \quad \phi_{00+}^J + \phi_{00-}^J, \quad \phi_{02}^J, \quad \phi_{12}^J + \phi_{1-2}^J. \quad (14b)$$

Введем далее систему 6 независимых спиральных амплитуд  $\phi$ , записав явный вид представления, включая спиноры, сведем эти спиральные амплитуды к инвариантным<sup>/4/</sup>:

Из этих формул и из (14a) видно, что в матричный элемент перехода в синглет-

ном состоянии при данном выборе структур дает вклад только инвариантная амплитуда  $A_3$ .

Таким образом, для матричного элемента перехода в синглетном состоянии получена следующая асимптотика в пороговом приближении:

$$M^0 = + \frac{e^2 m}{t} \left\{ 1 + \frac{e^2}{2\pi^2} m^2 \ln t(s) + \dots \right\} + \frac{e^2 m}{u} \eta_1 \left\{ 1 + \frac{e^2}{2\pi^2} m^2 l(s) \ln u \right\}. \quad (15)$$

Суммируя этот ряд при помощи ренормализационной группы, получаем "реджевскую" асимптотику:

$$M^0 = + e^2 m t^{-1 + \frac{e^2 m^2 l(s)}{2\pi^2}} + \eta_1 e^2 m u^{-1 + \frac{e^2 m^2 l(s)}{2\pi^2}} \quad (16)$$

и уравнение для определения связанных состояний в области  $0 < 4m^2 - s \ll 4m^2$ :

$$\ell = -1 + \frac{e^2}{2\pi} m^2 \frac{1}{\sqrt{s(4m^2 - s)}}, \quad \ell = 0, 1, \dots \quad (17)$$

которое в нерелятивистском приближении ( $m \rightarrow \infty$ ) переходит в уравнение кулоновских уровней системы электрон-позитрон с радиальным квантовым числом 0.

$$\ell = -1 + \alpha \sqrt{\frac{\pi}{-2E}}. \quad (18)$$

Итак, как и в статье<sup>/2/</sup>, амплитуда рассеяния в синглетном состоянии в пороговой области в  $s$  канале имеет "реджевскую" асимптотику по  $t$ , которая дает возможность определить энергетические уровни.

Как видно, в пороговой области разложение ряда теории возмущений проводится по  $\frac{\alpha}{\sqrt{-2E}}$ , что в данном приближении соответствует получению энергетических уровней вплоть до  $e^2$ . В этом порядке спиновые эффекты не дают вклада в энергию, и потому в пороговой области можно было бы надеяться получить для триплетных состояний выражения с той же асимптотикой, что и для синглетного состояния. Однако эта надежда, как следует из (5), (12), (15b) и из вышеупомянутых формул<sup>/4/</sup>, для триплетного состояния не оправдывается, по крайней мере, при рассмотренном способе суммирования ряда.

Я выражаю благодарность Соловьеву Л.Д. за полезные дискуссии и постоянное внимание к работе.

#### Л и т е р а т у р а

1. Б.А. Арбузов, Л.А. Логунов, А.Н. Тавхелидзе, Р.Н. Фаустов. Phys. Lett, 2, 150 (1962).
2. А.А. Логунов, Нгуен Ван Хьеу, А.Н. Тавхелидзе, О.А. Хрусталев. Nucl. Phys., 44, 275 (1963).

3. А.А.Логунов, Нгуен Ван Хьеу, А.Н.Тавхелидзе, О.А.Хрусталеv. Препринт ОИИИ Е-1194, Дубна, 1963.
4. А.С.Hearn, E.Leader. Phys. Rev., 126, 789(1962).
5. M.Jacob, G.C.Wick, Ann. of Phys., 7, 404 (1959).

Рукопись поступила в издательский отдел  
3 января 1984 г.

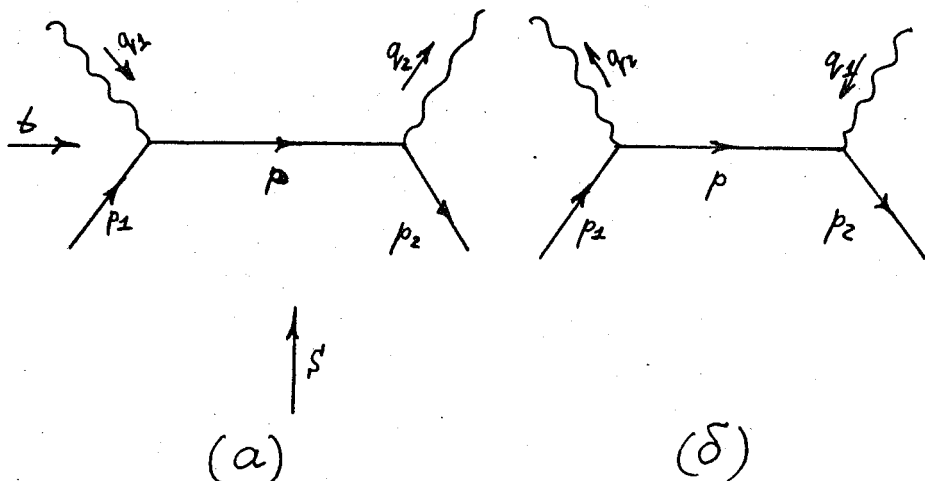


Рис. 1.

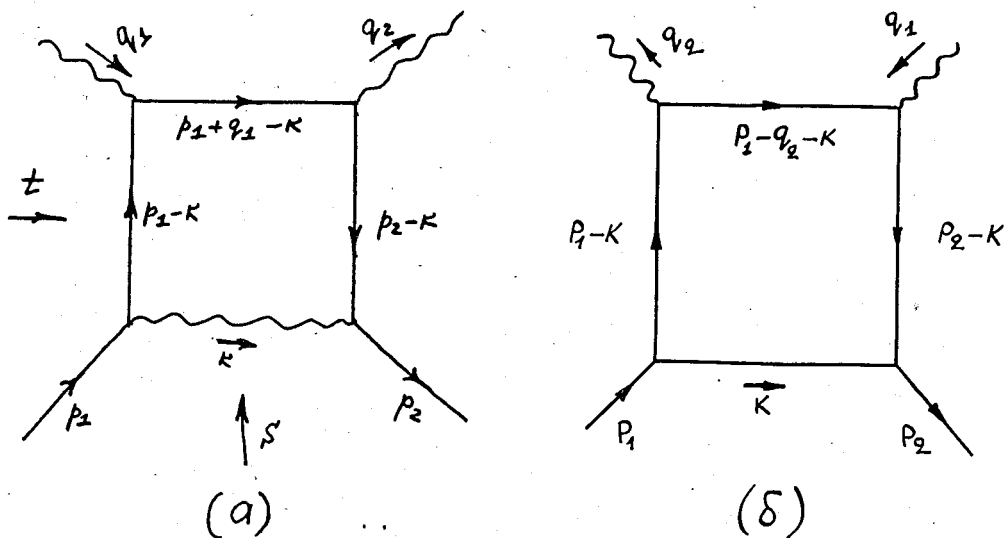


Рис. 2.